

Introduction à l'implémentation de la méthode des éléments finis virtuels – Application au calcul des modes de résonance en acoustique

Marc Bakry avec Amadou Diallo

Merci à M. Aussal pour le financement
et à S. Pernet pour les discussions fructueuses

Séminaire d'Au Revoir

9 octobre 2020

Table des matières

Introduction

Implémentation

Preliminaires

Implémentation

Application numérique

Problème général

Soit le problème variationnel discret : trouver $w_h \in \mathcal{V}_h$, t.q.
pour tout $v_h \in \mathcal{V}_h$

$$a(w_h, v_h) = b(v_h)$$

- $V_h \equiv V_h(\mathcal{T}_h)$
- \mathcal{T}_h une discrétisation d'un domaine Ω .

Eléments finis "classiques" (2D)

- maillage triangulaire ou quadrangulaire
- fonctions de base explicites : $\mathcal{P}^0, \mathcal{P}^1, \text{RT}_0$, etc.
 - ↪ les matrices élémentaire se calculent facilement par intégration avec des règles de quadrature

Equation de Helmholtz

On considère l'équation de Helmholtz homogène dans $\Omega \subset \mathbb{R}^2$

$$\begin{aligned} -\Delta p - \frac{\rho \cdot \omega^2}{\rho \cdot c^2} p &= 0, \\ \frac{\partial p}{\partial n} &= 0 \quad \text{sur } \partial\Omega \end{aligned}$$

qu'on réécrit sous la forme

$$\begin{cases} -\omega^2 \cdot \rho \cdot \mathbf{w} = -\nabla p & \text{dans } \Omega, \\ p = -\rho \cdot c^2 \cdot \operatorname{div} \mathbf{w} & \text{dans } \Omega, \\ \mathbf{w} \cdot n = 0 & \text{sur } \partial\Omega \end{cases}$$

et

$$\mathbf{w} \in \mathcal{V} := \{\mathbf{v} \in H_{\operatorname{div}}(\Omega), \mathbf{v} \cdot n = 0 \text{ sur } \partial\Omega\}$$

Problème aux valeurs propres

Mult. par fonction test \mathbf{v} + Intégration par parties, etc.

$$\int_{\Omega} \operatorname{div} \mathbf{w} \cdot \operatorname{div} \mathbf{v} = \lambda \int_{\Omega} \mathbf{v} \cdot \mathbf{w}$$

reformulé en

$$\begin{aligned} \int_{\Omega} \operatorname{div} \mathbf{w} \cdot \operatorname{div} \mathbf{v} + \int_{\Omega} \mathbf{v} \cdot \mathbf{w} &= (\lambda + 1) \int_{\Omega} \mathbf{v} \cdot \mathbf{w}, \\ a(\mathbf{w}, \mathbf{v}) + b(\mathbf{w}, \mathbf{v}) &= (\lambda + 1) b(\mathbf{w}, \mathbf{v}) \end{aligned}$$

- moins de modes parasites
- H_{div}^- elliptique

On pose encore, pour $E \in \mathcal{T}_h$,

$$a^E(.,.) \quad \text{et} \quad b^E(.,.)$$

les formes bilinéaires locales.

Discrétisation "éléments finis virtuels"

- discrétisation en **polygones étoilés quelconques**
- si discrétisation triangulaire ou quadrangulaire : éléments de Raviart-Thomas ...
- ... mais sur un polygone quelconque ?

⇒ éléments finis "virtuels"

- fonctions de base pas connues explicitement ...
- ... mais on **suppose** qu'elles ont des propriétés sympathiques.

Autrement dit : on fait un choix *éclairé* d'approximation, puis on prouve que c'est le bon (mais ce n'est pas l'objet ici).

Recette

Soit $E \in \mathcal{T}_h$ un élément du maillage, on choisit

$$\mathcal{V}_h^E := \{ \mathbf{v}_h \in H_{\text{div}}(E), (\mathbf{v}_h \cdot \mathbf{n}) \in \mathbb{P}_k(e), \forall e \subset \partial E, \\ \text{div } \mathbf{v}_h \in \mathbb{P}_k(E), \text{rot } \mathbf{v}_h = 0 \text{ dans } E \}$$

un espace d'approximation avec

- $\mathbb{P}_k(e)$ polynôme d'ordre k sur les arêtes de E ,
- $\mathbb{P}_k(E)$ polynôme d'ordre k sur E .

L'idée : *travailler autant que possible avec des polynômes*

- facile à exprimer à n'importe quel ordre
- intégration exacte par quadrature sur des polygones.

Degrés de liberté

Deux "classes" de degrés de liberté

- "d'arête"

$$\int_e (\mathbf{v}_h \cdot \mathbf{n}) \cdot q \cdot ds, \quad \forall q \in \mathbb{P}_k(e), \quad \forall e \subset \partial E$$

- "intérieurs"

$$\int_E \mathbf{v}_h \cdot \nabla p, \quad \forall p \in \mathbb{P}_k(E) \setminus \mathbb{P}_0(E)$$

Remarques

- pour $k = 0$, pas de dofs intérieurs !
- nb. dofs entièrement déterminé par k
 - ↪ pour $k = 1$: 2 dofs intérieurs (il faut enlever le polynôme constant de la base), 2 dofs par arête

Calcul des matrices élémentaires 1/

- $a^E(\mathbf{w}_h, \mathbf{v}_h)$ se calcule facilement car $\text{div } \mathbf{w}_h$ est un $\mathbb{P}_k(E)$
- comment faire pour $b(\mathbf{w}_h, \mathbf{v}_h)$?
 - on projette $b^E(.,.)$ sur un sous-espace local *explicite* $\widehat{\mathcal{V}}_h^E$.

Soient l'espace local de projection

$$\widehat{\mathcal{V}}_h^E := \nabla(\mathbb{P}_{k+1}(E)) \subset \mathcal{V}_h^E, \quad E \in \mathcal{T}_h$$

et le projecteur

$$\begin{aligned} \Pi^E : \mathcal{V}_h^E &\rightarrow \widehat{\mathcal{V}}_h^E, \\ b^E(\mathbf{w}_h - \Pi^E \mathbf{w}_h, \mathbf{m}) &= 0, \quad \mathbf{w}_h \in \mathcal{V}_h^E, \forall \mathbf{m} \in \widehat{\mathcal{V}}_h^E \end{aligned}$$

Calcul des matrices élémentaires 2/

On a donc

$$\begin{aligned} b^E(\mathbf{w}_h, \mathbf{v}_h) &= b^E(\mathbf{w}_h - \Pi^E \mathbf{w}_h + \Pi^E \mathbf{w}_h, \mathbf{v}_h - \Pi^E \mathbf{v}_h + \Pi^E \mathbf{v}_h), \\ &= b^E(\Pi^E \mathbf{w}_h, \mathbf{v}_h) + b^E(\mathbf{w}_h - \Pi^E \mathbf{w}_h, \mathbf{v}_h), \\ &= b^E(\Pi^E \mathbf{w}_h, \Pi^E \mathbf{v}_h) + b^E(\mathbf{w}_h - \Pi^E \mathbf{w}_h, \mathbf{v}_h - \Pi^E \mathbf{v}_h). \end{aligned}$$

↪ on sait calculer le 1^{er} terme ci-dessus !

On va approximer le second terme !

On introduit $S^E(.,.)$ et $\{c, C\}$ tels que

$$c \cdot b^E(\mathbf{w}_h, \mathbf{w}_h) \leq S^E(\mathbf{w}_h, \mathbf{w}_h) \leq C \cdot b^E(\mathbf{w}_h, \mathbf{w}_h),$$

On a finalement

$$b^E(\mathbf{w}_h, \mathbf{v}_h) \approx b^E(\Pi^E \mathbf{w}_h, \Pi^E \mathbf{v}_h) + S^E(\mathbf{w}_h - \Pi^E \mathbf{w}_h, \mathbf{v}_h - \Pi^E \mathbf{v}_h)$$

Calcul des matrices élémentaires 3/

On a donc

- un terme de **consistance** : $b^E(\Pi^E \mathbf{w}_h, \Pi^E \mathbf{v}_h)$
 - ↪ il permet d'assurer qu'on est consistant avec $b^E(\mathbf{w}_h, \mathbf{v}_h)$
- une terme de **stabilité** : $S^E(\mathbf{w}_h - \Pi^E \mathbf{w}_h, \mathbf{v}_h - \Pi^E \mathbf{v}_h)$
 - ↪ il compense la perte d'information liée à la projection

Par un *choix* éclairé,

$$S^E(\mathbf{w}_h - \Pi^E \mathbf{w}_h, \mathbf{v}_h - \Pi^E \mathbf{v}_h) = \sigma_E \sum_k \text{dof}_k(\mathbf{w}_h - \Pi \mathbf{w}_h) \cdot \text{dof}_k(\mathbf{v}_h - \Pi \mathbf{v}_h)$$

- $\sigma_E \in \mathbb{R}^+$,
- $\text{dof}_k(\mathbf{w}_h)$: évaluation du k -ième dof local pour \mathbf{w}_h .

Table des matières

Introduction

Implémentation

 Preliminaires

 Implémentation

Application numérique

Choix des bases polynômiales *locales*

Un bon choix permet de s'épargner *beaucoup* de prise de tête

- base pour $\mathbb{P}_{k+1}(E)$

$$\begin{aligned}p_0(x, y) &= 1, \\p_\alpha(x, y) &= \frac{(x - x_E)^{\alpha_1} \cdot (y - y_E)^{\alpha_2}}{h_E^2} + C_\alpha, \\0 < \alpha_1 + \alpha_2 &\leq k + 1\end{aligned}$$

avec $C_\alpha \in \mathbb{R}$ tel que $\int_E p_\alpha = 0$, (x_E, y_E) le *centroïde*, h_E le diamètre et $|E|$ l'aire de E .

- base pour $\mathbb{P}_k(e), \forall e \subset \partial E$: les **polynômes de Legendre**

$$q_e^0(x) = 1, \quad \|q_e^i\|_{\infty, e} = 1, \quad \int_e q_e^i \cdot q_e^j = \delta_{ij}.$$

Propriétés des fonctions de base

- fonctions de base "d'arête" φ_e^i

$$\varphi_e^i \in \mathcal{V}_h^E,$$

$$\int_{e_m} (\varphi_e^i \cdot n) \cdot q_m^j = \delta_{em} \delta_{ij},$$

$$\int_E \operatorname{div} \varphi_e^i \cdot p_\alpha = 0, \quad \alpha \geq 1$$

- fonctions de base "interieures"

$$\tilde{\varphi}^s \in \mathcal{V}_h^E,$$

$$\tilde{\varphi}^s|_{\partial E} \cdot n = 0,$$

$$\int_E (\operatorname{div} \tilde{\varphi}^s) \cdot p^r = \delta_{sr}, \quad r \geq 1$$

Calcul de $\operatorname{div} \varphi_e^i$

On a

$$\operatorname{div} \varphi_e^i = \frac{\delta_{i0}}{|E|}.$$

Preuve :

- la projection de $\operatorname{div} \varphi_e^i$ sur les p^s est nulle pour $s \geq 1$,
- donc $\operatorname{div} \varphi_e^i$ est une constante.
- De plus

$$\int_E \operatorname{div} \varphi_e^i = \operatorname{div} \varphi_e^i \int_E 1 = \sum_{m=1}^{N_E} \int_{e_m} (\varphi_e^i \cdot n) \cdot q_m^0 = \delta_{i0}.$$

- Et conclusion.

Calcul de $\operatorname{div} \tilde{\varphi}^s$

Par hypothèse, $\operatorname{div} \tilde{\varphi}^s \in \mathbb{P}_k(E)$ donc on peut calculer sa projection sur la base des p_α

$$\operatorname{div} \tilde{\varphi}^s = \sum_{\alpha \geq 1} f_\alpha \cdot p_\alpha$$

On montre facilement qu'il suffit de résoudre le système

$$\begin{pmatrix} \ddots & \dots & \ddots \\ \vdots & \{\int_E p_\alpha p_\beta\} & \vdots \\ \ddots & \dots & \ddots \end{pmatrix} \cdot \begin{pmatrix} f_1^s \\ \vdots \\ f_{\tilde{N}}^s \end{pmatrix} = \begin{pmatrix} \vdots \\ \delta_{\beta s} \\ \vdots \end{pmatrix}$$

grâce aux propriétés de $\tilde{\varphi}^s$.

Un mot sur S^E et Π^E

- les dofs sont lagrangiens donc pour une fonction de base φ^i

$$\text{dof}_k(\varphi^i) = \delta_{ki}$$

- la matrice élémentaire \mathbf{S}^E pour S^E est donc

$$\mathbf{S}^E = \sigma_E \cdot (\mathbf{F}^T \cdot \mathbf{F})$$

avec

$$\mathbf{F} = \mathbf{I}_3 - \mathbf{D} \cdot \Pi, \quad \mathbf{D}_{i\alpha} = \text{dof}_i(\nabla p_\alpha)$$

et Π est la matrice de la projection sur $\widehat{\mathcal{V}_h^E}$ telle que

$$\mathbf{P} \cdot \Pi = \mathbf{B}$$

avec

$$\mathbf{P}_{\alpha\beta} = b^E(\nabla p_\alpha, \nabla p_\beta), \quad \mathbf{B}_{\alpha i} = b^E(\varphi^i, \nabla p_\alpha).$$

Calcul de la projection Π sur la base locale des ∇p_α

Matrice du projecteur (classique)

$$\mathbf{P}_{\alpha\beta} = \int_E \nabla p_\alpha \cdot \nabla p_\beta$$

Second membre (par intégration par parties)

- Cas "arête" (on se souvient que $\varphi_e^i \cdot n \in \mathbb{P}_k(\partial E)$)

$$- \int_E \operatorname{div} \varphi_e^i \cdot p_\alpha + \int_e (\varphi_e^i \cdot n) \cdot p_\alpha = 0 + \int_e q_e^i \cdot p_\alpha$$

$$\text{car } \varphi_e^i \cdot n = \sum_\alpha g^\alpha \cdot q_e^\alpha \text{ avec } g_\alpha = \delta_{i\alpha}$$

- Cas "intérieur" (on se souvient que $\operatorname{div} \varphi \in \mathbb{P}_k(E)$)

$$\dots = - \int_E \operatorname{div} \varphi^s \cdot p_\alpha = - \sum_\beta f_\beta \int_E p_\beta \cdot p_\alpha$$

Calcul de la matrice élémentaire pour $a(\mathbf{w}_h, \mathbf{v}_h)$

Trois combinaisons de fonctions de base

- Cas "arête – arête" : trivialement,

$$\int_E \operatorname{div} \varphi_{e_l}^i \cdot \operatorname{div} \varphi_{e_m}^j = \frac{\delta_{i0} \delta_{j0}}{|E|}$$

- Cas "arête – intérieur" :

$$\int_E \operatorname{div} \varphi_{e_l}^i \cdot \operatorname{div} \varphi^s = \frac{1}{|E|} \int_E \operatorname{div} \varphi^s = \int_{\partial E} \tilde{\varphi}^s \cdot n = 0$$

- Cas "intérieur – intérieur" : projection sur les $\{p_\alpha\}$, puis intégration par quadrature!

→ en fait on peut réutiliser la matrice des $\left\{ \int_E p_\alpha p_\beta \right\}$ vue précédemment !

Moralité : pas de difficulté ici !

Calcul de la matrice élémentaire pour $b(w_h, v_h)$

Rappel des étapes principales :

1. Calcul de la projection Π sur $\widehat{\mathcal{V}}_h^E$

2. Calcul de $\int_E \Pi \mathbf{w}_h \cdot \Pi \mathbf{v}_h$

→ calcul de la matrice du projecteur

→ un second membre par fonctions de base

→ on obtient la *matrice de projection* $\Pi \Leftrightarrow$ matrice de passage "base globale" \rightarrow "locale"

3. Calcul de $\sigma_E \sum_k \text{dof}_k(\mathbf{w}_h - \Pi \mathbf{w}_h) \cdot \text{dof}_k(\mathbf{v}_h - \Pi \mathbf{v}_h)$

→ $\text{dof}_k(\varphi_l) = \delta_{kl}$ (dof lagrangien)

→ $\text{dof}_k(\Pi \varphi_l)$: d'abord une projection sur la base locale, puis "relèvement" sur la base globale (évaluation du degré de liberté pour les éléments de la base locale)

Implémentation !

- matrice élémentaire pour $k = 0$
- en Julia (<https://julialang.org>)
 - ↪ langage récent (8 août 2018 pour la v1.0.0)
 - ↪ compatible UTF-8, on peut écrire " σ " au lieu de "**sigma**"
 - ↪ bibliothèque standard de haut niveau
 - ↪ pensé pour remplacer le **Fortran**
 - ↪ langage compilé (mais c'est un peu caché à l'utilisateur)
 - ↪ *très* performant (comme du **C** en fait)

Calcul numérique des intégrales

Pour l'intégrale sur le polygone

- polygone *étoilé* \Rightarrow subdivision en triangles tq $E = \bigcup_i T_i^E$

- $\int_E \square = \sum_i \int_{T_i^E} \square$

Intégrale sur chaque triangle

- on manipule des polynômes de degré au plus 1 !
- évaluation au centre, puis multiplication par l'aire

Intégrale sur les arêtes

- comme pour les triangles !

(Exemple de) Code source – Matrice élémentaire

- calcul des données caractéristiques du polygone
- calcul de la matrice div-div

```
# verts : coordonnees des noeuds rangees en colonnes
function melem(verts::Array{Float64,2})
    # nombre de noeuds
    nvtx = size(verts,2)

    # 0. Preliminaires
    E = polygonArea(verts)      # aire
    xE = polygonCentroid(verts) # centroide
    hE = polygonDiameter(verts) # diametre

    # 1. Matrice de divergence
    DIV = ones(Float64, nvtx, nvtx) / E
```

Calcul de la projection

- terme de gauche pour le calcul de la projection

```
# 2. membre de gauche pour calcul matrice de projection
gma  = getGradientMonomialsP1(xE, hE)
ref2d = quadGL2d(1) # quadrature sur triangle a un point

Pab = zeros(Float64, 2, 2)
for a=1:2
    for b=1:2
        # renvoie un vecteur de fonctions permettant
        # de calculer le gradient des 3 fonctions
        # de base. Comme on est en P1, la premiere
        # renvoie le vecteur nul.
        Pab[a,b] = integratePolygon(verts, xE, ref2d,
            x -> dot(gma[a+1](x), gma[b+1](x)))
    end
end
```


Calcul de la projection

- second membre pour le calcul de la projection

```
# vecteur de fonctions permettant le calcul des  
# monomes de degre 1  
ma = getMonomialsP1(xE, hE)  
Cs = (-1/E)*integratePolygon(verts, xE, ref2d, ma)  
ma = getMonomialsP1(xE, hE, Cs) # de moyenne nulle  
#  
rhs = zeros(Float64, 2, nvtx)  
for i=1:nvtx  
    ip = mod(i, nvtx) + 1          # noeud suivant  
    ev = verts[:,ip] - verts[:,i] # tangente  
    le = norm(ev)                  # longueur de l'arete  
    for a=1:2  
        rhs[a,i] = ma[a+1]((verts[:,ip] + verts[:,i])/2)  
    end  
end  
# calcul de la matrice de projection  
P = Pab \ rhs
```

Matrice des dofs

- on va quand même utiliser une quadrature d'arête, mais elle est inutile ici!

```
# 3. matrice d'evaluation des dofs
D = zeros(Float64, nvtx, 2)
# quadrature 1d a 2 points sur [0,1]
ref1d = quadGL1d(2, 0., 1.)
#  $D_{i,a} = \int_0^1 (\nabla m_a \cdot n) q^i dt$ 
for i=1:nvtx
    ip = mod(i, nvtx) + 1      # noeud suivant
    ev = verts[:,ip] - verts[:,i] # tangente
    le = norm(ev)               # longueur de l'arete
    nv = e_v/le
    nv = [nv[2], -nv[1]]        # normale a l'arete
    for a=1:2
        D[i,a] = integrate(ref1d,
            t -> dot(gma[a+1](verts[:,i] + t*ev,nv))*le
        )
    end
end
```

Fin de l'assemblage

■ assemblage de la matrice de masse

↪ on prend $\sigma = 1$, ça suffit ici

4. Assemblage du terme de masse

```
sigma      = 1.  
Id         = Matrix(1.0I, nvtx, nvtx) # matrice identite  
F          = Id - D*P  
MASS_cons  = P' * (Pab*P)             # consistance  
MASS_stab  = sigma*(F' * F)           # stabilite  
MASS       = MASS_cons + MASS_stab
```

5. On retourne les deux matrices elementaires

```
return DIV, MASS
```

end

■ assemblage final comme en FEM!

■ conditions aux limites comme en FEM!

Table des matières

Introduction

Implémentation

 Preliminaires

 Implémentation

Application numérique

Calcul des valeurs propres acoustiques

Rappel : on résout le problème

$$(\mathbf{A} + \mathbf{B}) \cdot V = (\lambda + 1) \cdot \mathbf{B} \cdot V$$

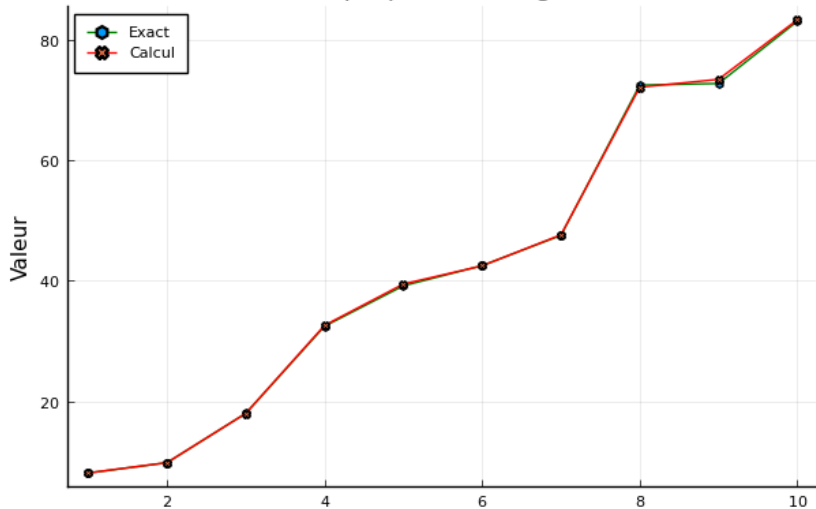
pour tous les couples valeur/vecteur propre $\{\lambda, V\}$ possibles.

- solveur exact
- deux types de maillages
 - ↪ éléments convexes mixtes (sur une base d'hexaèdres)
 - ↪ éléments non convexes
- plaque de dimension $(a = 1, b = 1.1)$

$$\lambda_{mn} = \pi^2 \left(\left(\frac{m}{a} \right)^2 + \left(\frac{n}{b} \right)^2 \right), \quad m + n \neq 0$$

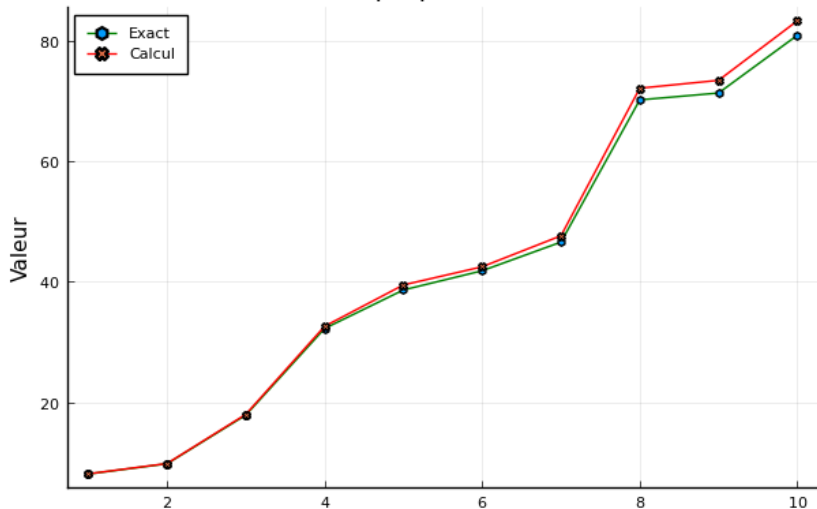
Comparaison avec solution analytique 1/

Valeur propres - Triangle RT0



Comparaison avec solution analytique 2/

Valeur propres - Voronoi



Comparaison avec solution analytique 3/

Valeur propres - Non convexe

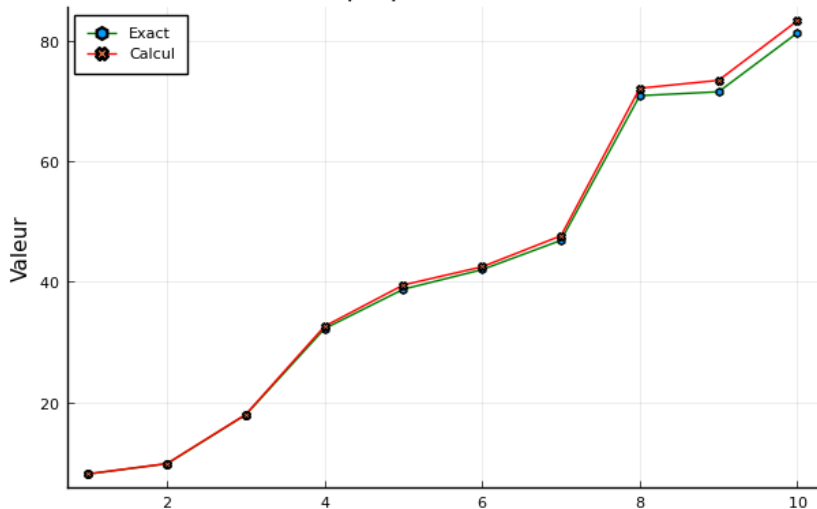


Illustration de quelques vecteurs propres 0/

- affichage du champ de pression

$$p = -\operatorname{div} \mathbf{w}$$

Illustration de quelques vecteurs propres 1/

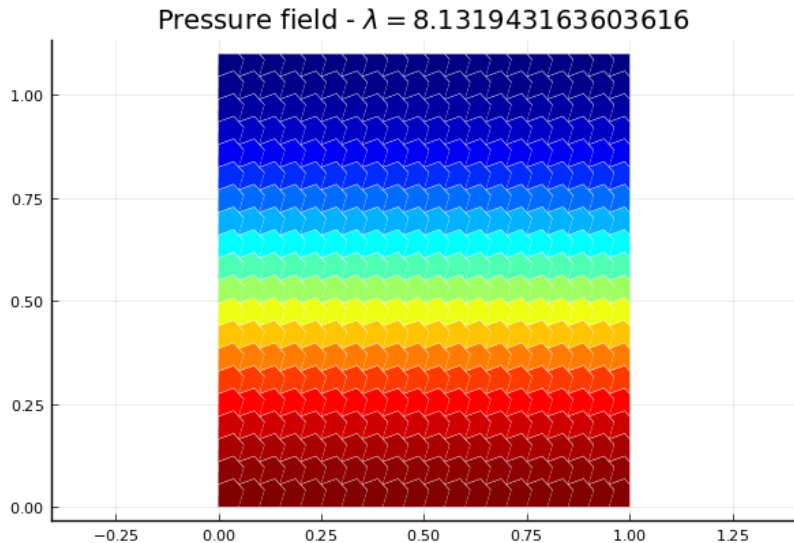


Illustration de quelques vecteurs propres 2/

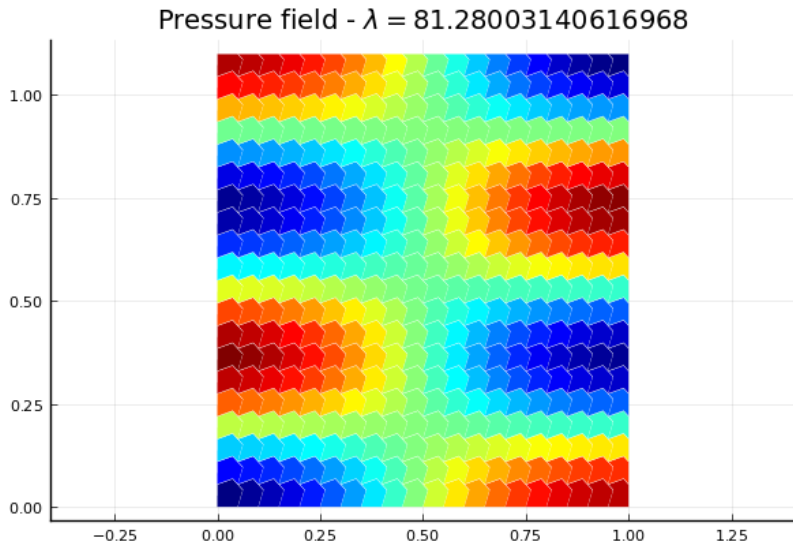
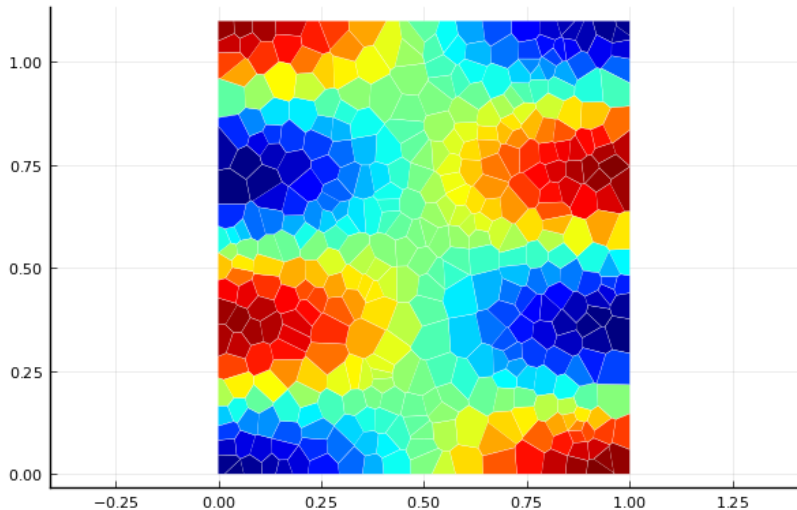


Illustration de quelques vecteurs propres 3/

Pressure field - $\lambda = 80.88794665709092$



Quelques mots sur l'implémentation

- le "code exemple" ci-avant peut être encore "compressé"
- matrice élémentaire : pas une simple intégration des fonctions de base ...
- ... mais pas très compliqué non plus.
- en **Julia** : on peut écrire des boucles, créer des matrices, les inverser avec `\`, etc.
- une fois la matrice élémentaire calculée, pas de différence avec un code FEM "classique"
 - à vous de choisir/construire votre connectique.
 - pour ceux qui ont déjà implémenté une EFIE Maxwell en BEM, c'est la même connectique.

Faire fonctionner l'exemple

1. code ici : `git clone https://github.com/marcbakry/vem_acoustics.git`
2. récupérer Julia : `https://julialang.org/downloads/`
3. ouvrir l'interpréteur et installer les dépendances
Appuyer sur la touche "]" (fait apparaître "pkg>"), puis
`pkg> add Plots Arpack`
4. naviguer dans le répertoire où est le main, et exécuter
Appuyer sur la touche ";" (fait apparaître "shell>"), puis
`shell> cd versLeDossierMain`
`julia> include("exeEigs.jl") # lancer l'exécution`

Remarque : la première exécution peu être *très* lente

- compilation des dépendances et du code
- et ce à chaque fermeture/réouverture de l'interpréteur

⇒ C'est un des gros défaut de Julia (pour le moment?).

Conclusion sur la VEM

- on n'a *jamais* explicité les fonctions de base
 - ↪ cool, non ?
- on n'a fait que manipuler des *polynômes*
- ça fonctionne *comme la FEM classique* !
 - ↪ même s'il y a un terme de stabilité
- on aurait pu projeter sur $\nabla\mathbb{P}_{k+2}(E)$
 - ↪ ça donne implicitement les RT_k (sur triangle et quadrangle)
- monter en ordre est (relativement) trivial !
- on peut traiter facilement des maillages non-conformes
 - ↪ tout est polygone
- le schéma pour la VEM présenté ici est très général
- ça fonctionne de la même manière en 3D, mais on ne l'a pas fait

Merci pour votre attention !

Pour cette présentation

- L. Beirão da Veiga, D. Mora, G. Rivera & R. Rodríguez, *A virtual element method for the acoustic vibration problem*, arXiv:1601.04316

Autres

- L. Beirão da Veiga, F. Brezzi, L. D. Marini & A. Russo, *The Hitchhiker's Guide to the Virtual Element Method*, Math. Models Methods Appl. Sci. **24** (8), 2014, pp. 1541–1573
- O. J. Sutton, *The virtual element method in 50 lines of MATLAB*, Numer. Algor. **75**, 2017, pp. 1141–1159

Calcul de l'aire

```
function polygonArea(vtx)
    area = 0.
    nvtx = size(vtx,2)
    for i=1:nvtx
        ip = mod(i,nvtx) + 1
        area += vtx[1,i]*vtx[2,ip] - vtx[2,i]*vtx[1,ip]
    end
    return 0.5*abs(area)
end
```

Calcul du diamètre

```
function polygonDiameter(vtx)
    diameter = 0.
    nvtx = size(vtx,2)
    for i=1:(nvtx-1)
        for j=(i+1):nvtx
            diameter = max(diameter, norm(vtx[:,i]-vtx[:,j]))
        end
    end
    return diameter
end
```

Centroide

```
function polygonCentroid(vtx)
    nvtx      = size(vtx,2)
    centroid = zeros(Float64,2)
    #
    den = 0.
    for i=1:nvtx
        ip = mod(i,nvtx) + 1
        w  = vtx[1, i]*vtx[2, ip] - vtx[1, ip]*vtx[2, i]
        centroid[1] += (vtx[1, i] + vtx[1, ip])*w
        centroid[2] += (vtx[2, i] + vtx[2, ip])*w
        den += w
    end
    return centroid/(3*den)
end
```

Monômes et gradients

```
function getMonomialsP1(xE::Array{Float64,1}, hE::Float64)
    #= Compute single P1 monomials =#
    return [x->1., x->(x[1]-xE[1])/hE, x->(x[2]-xE[2])/hE]
end
```

```
function getMonomialsP1(xE::Array{Float64,1}, hE::Float64,
    Cs::Array{Float64,1})
    #= Compute single P1 monomials with 0 average =#
    return [x->1., x->(x[1]-xE[1])/hE+Cs[2],
            x->(x[2]-xE[2])/hE+Cs[3]]
end
```

```
function getGradientMonomialsP1(xE::Array{Float64,1}, hE::Float64)
    #= Compute the gradient of the single P1 monomials =#
    return [x->[0.,0.], x->[1/hE,0.], x->[0.,1/hE]]
end
```